

Е. А. Горбач, В. В. Шепелевич

ВЛИЯНИЕ ГИРОТРОПИИ ПРИ ЗАПИСИ И СЧИТЫВАНИИ ПРОПУСКАЮЩИХ ГОЛОГРАММ НА ДИФРАКЦИОННУЮ ЭФФЕКТИВНОСТЬ ФАЗОВЫХ ГОЛОГРАММ

В качестве регистрирующих материалов для записи голограмм могут использоваться оптически активные среды. В работе [1] была рассмотрена задача о влиянии гиротропии при записи пропускающих фазовых голограмм в изотропном плоскопараллельном слое в случае, когда опорная и предметная волны линейно поляризованы перпендикулярно плоскости падения (азимут поляризации $\psi_0 = 90^\circ$ и угол Брэгга фиксированный $\varphi_0 = 30^\circ$). Показано, что «включение» гиротропии при записи приводит к заметному изменению значения дифракционной эффективности. В [2] изучалась зависимость дифракционной эффективности голограмм от толщины регистрирующего слоя при определенном угле Брэгга в случае, когда гиротропия учитывалась только при считывании. Показано, что «включение» гиротропии при считывании приводит к качественному изменению зависимости дифракционной эффективности от толщины. Однако в этих работах зависимость дифракционной эффективности от угла схождения опорной и предметной волн не исследовалась. Практически отсутствуют публикации по исследованию дифракционной эффективности голограмм в случае, когда влияние гиротропии учитывается как при записи, так и при считывании голограмм.

В рассматриваемой работе исследуется зависимость дифракционной эффективности голограммы от угла Брэгга и толщины слоя одновременно в случае, когда гиротропия «включена» и при записи, и при считывании.

Предположим, что в изотропной прозрачной естественно гиротропной среде записана пропускающая фазовая голографическая решетка. В этом случае уравнения связанных волн имеют вид:

$$\begin{aligned}\frac{dR_{\perp}}{dz} &= \alpha_{\varphi} R_{\parallel} + i\kappa_1 S_{\perp}, \\ \frac{dR_{\parallel}}{dz} &= -\alpha_{\varphi} R_{\perp} + i\kappa_2 S_{\parallel}, \\ \frac{dS_{\perp}}{dz} &= i\kappa_1 R_{\perp} + \alpha_{\varphi} S_{\parallel}, \\ \frac{dS_{\parallel}}{dz} &= i\kappa_2 R_{\parallel} - \alpha_{\varphi} S_{\perp},\end{aligned}\quad (1)$$

где R_{\perp} , R_{\parallel} , S_{\perp} , S_{\parallel} – комплексные проекции векторных амплитуд \vec{R} и \vec{S} световых волн, распространяющихся внутри гиротропного слоя на направление, перпендикулярное плоскости падения (\perp), и на направления \vec{e}_R и \vec{e}_S , лежащие в плоскости падения (\parallel); $\alpha_{\varphi} = \frac{\alpha}{\cos\varphi_0}$,

α – удельное вращение плоскости поляризации, φ_0 – угол Брэгга внутри слоя; $\kappa_1 = \frac{\kappa_0}{\cos\varphi_0}$, $\kappa_2 = \frac{\kappa_0 \cos 2\varphi_0}{\cos\varphi_0}$, $\kappa_0 = \frac{\pi\Delta n}{2\lambda\bar{n}}$ $f(z)$, Δn – амплитуда пространственной модуляции показателя преломления, \bar{n} – усредненный по пространству показатель преломления, λ – длина волны источника излучения, $f(z)$ – модулирующая функция.

Модулирующую функцию для произвольной поляризации можно представить в виде

$$f(z) = \sqrt{[(B+A)\cos u + (D+C)\cos v]^2 + [(B-A)\sin u + (D-C)\sin v]^2}, \quad (2)$$

где

$$\begin{aligned}A &= \frac{(\tau_R + 1)(\tau_S + 1)}{a} \cos^2 \frac{\varphi_R - \varphi_S}{2}, \\ B &= \frac{(\tau_R - 1)(\tau_S - 1)}{a} \cos^2 \frac{\varphi_R - \varphi_S}{2}, \\ C &= \frac{(\tau_R + 1)(\tau_S - 1)}{a} \sin^2 \frac{\varphi_R - \varphi_S}{2}, \\ D &= \frac{(\tau_R - 1)(\tau_S + 1)}{a} \sin^2 \frac{\varphi_R - \varphi_S}{2}, \\ a &= 2\sqrt{(1 + \tau_R^2)(1 + \tau_S^2)},\end{aligned}$$

$$u = \left(\frac{1}{\cos \varphi_R} - \frac{1}{\cos \varphi_S} \right) \alpha_\varphi d - (\psi_R - \psi_S),$$

$$v = \left(\frac{1}{\cos \varphi_R} + \frac{1}{\cos \varphi_S} \right) \alpha_\varphi d - (\psi_R + \psi_S),$$

τ_R, τ_S – эллиптичности опорной и предметной волн, ψ_R, ψ_S – азимуты поляризации этих волн, φ_R, φ_S – углы, образованные волновыми векторами опорной и предметной волн с нормалью к границе раздела двух сред [3].

Рассмотрим случай, когда опорная и предметная волны линейно поляризованы в плоскости падения ($\psi_R = \psi_S = \psi_0 = 0, \varphi_R = -\varphi_S = \varphi_0, \tau_R = \tau_S = 0$), тогда $f(z) = \cos^2 \varphi_0 - \sin^2 \varphi_0 \cos \left(\frac{4\pi\alpha d}{\lambda \cos \varphi_0} \right)$ [4].

Учтем коэффициенты Френеля для преломленной волны. Они приводят к уменьшению значения дифракционной эффективности при увеличении угла Брэгга. Для границы воздух-среда коэффициенты Френеля имеют вид

$$T_{\perp 1} = \frac{2 \sin \varphi_1 \cos \varphi_0}{\sin(\varphi_0 + \varphi_1)}, \quad T_{\parallel 1} = \frac{2 \sin \varphi_1 \cos \varphi_0}{\sin(\varphi_0 + \varphi_1) \cos(\varphi_0 - \varphi_1)}, \quad (3)$$

$$\varphi_1 = \arcsin \left(\sin \frac{\varphi_0}{n} \right),$$

где φ_0 – угол падения,

φ_1 – угол преломления,

n – показатель преломления среды.

Для границы среда-воздух коэффициенты Френеля имеют вид

$$T_{\perp 2} = \frac{2 \sin \varphi_2 \cos \varphi_1}{\sin(\varphi_1 + \varphi_2)}, \quad T_{\parallel 2} = \frac{2 \sin \varphi_2 \cos \varphi_1}{\sin(\varphi_1 + \varphi_2) \cos(\varphi_1 - \varphi_2)}, \quad (4)$$

$$\varphi_2 = \arcsin(\sin \varphi_1 n),$$

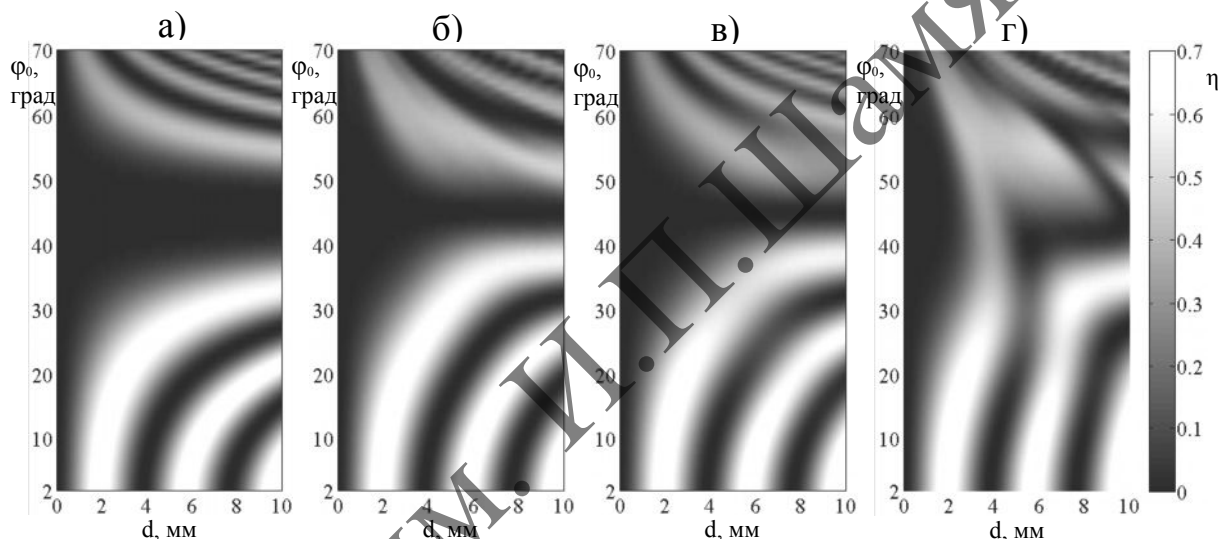
где φ_1 – угол падения,

φ_2 – угол преломления [5].

При моделировании принимаем значение удельного вращения плоскости поляризации $\alpha = 0.2165 \frac{\text{рад}}{\text{мм}}$, показатель преломления регистрирующей среды типа реоксан $n = 1.5$ [6], длина волны $\lambda = 0.6328$ мкм.

Система дифференциальных уравнений (1) решалась методом Рунге-Кутты, а дифракционная эффективность вычислялась по известной формуле [7].

Из рисунка 1 видно, что при увеличении угла схождения от 2° до 40° максимумы дифракционной эффективности в случаях а), б) и в) смещаются в сторону увеличения толщины регистрирующего слоя d , а дифракционная эффективность в области $\varphi_0 = 45^\circ$ обращается в нуль. Это обусловлено тем, что при таком значении φ_0 угол между векторами \vec{R} и \vec{S} получается равным 90° , что приводит к отсутствию видности интерференционных полос при $\psi_0 = 0^\circ$. К тому же область малой дифракционной эффективности при $\varphi_0 \approx 45^\circ$ в отсутствие гиротропии (а) шире соответствующих областей в случаях б) и в), а в диапазоне значений толщины регистрирующего слоя $2 \text{ мм} < d < 9 \text{ мм}$ в случае г) вообще отсутствует. Учет гиротропии при записи и считывании (г) приводит к значительным качественным изменениям графика зависимости дифракционной эффективности голограммы от угла φ_0 и толщины регистрирующего слоя d .



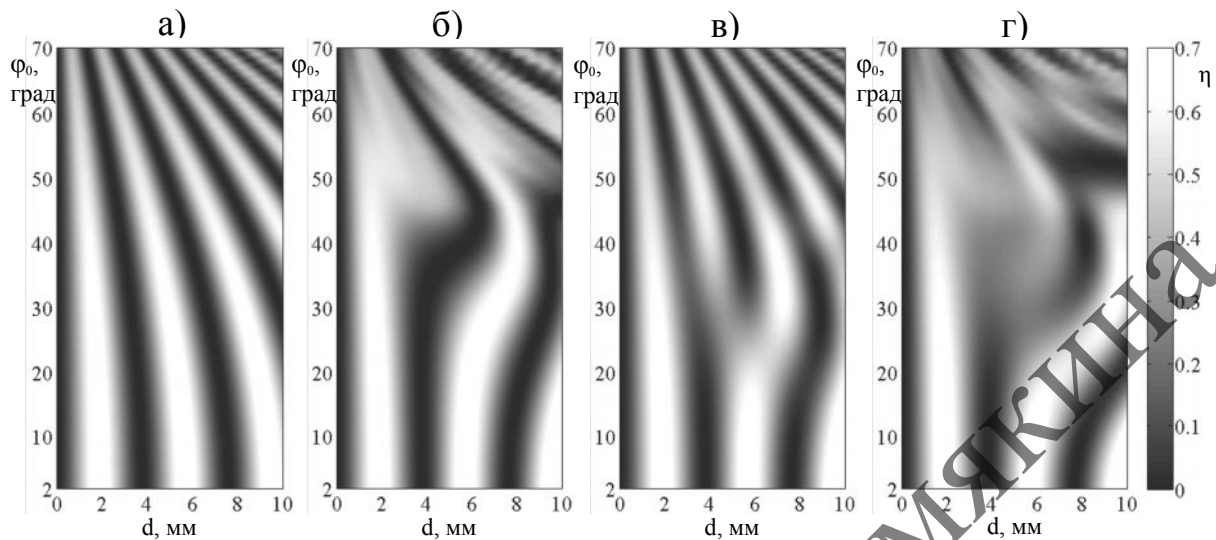
а) – гиротропия не учитывается, б) – гиротропия учитывается при записи,
 в) – гиротропия учитывается при считывании, г) – гиротропия учитывается
 при записи и считывании

Рисунок 1 – Зависимость дифракционной эффективности от угла Брэгга φ_0 и толщины слоя d ($\psi_0 = 0^\circ$)

Рассмотрим случай, когда опорная и предметная волны линейно поляризованы в плоскости падения ($\psi_R = \psi_S = \psi_0 = 90^\circ$, $\varphi_R = -\varphi_S = \varphi_0$, $\tau_R = \tau_S = 0$), тогда $f(z) = \cos^2 \varphi_0 + \sin^2 \varphi_0 \cos\left(\frac{4\pi\alpha d}{\lambda \cos \varphi_0}\right)$.

Из рисунка 2 видно, что при увеличении угла Брэгга φ_0 число максимумов дифракционной эффективности при $\varphi_0 = \text{const}$ в случаях а) и в) возрастает. В случаях б) и г) в области $\varphi_0 \approx 45^\circ$ наблюдаются качественные изменения значения дифракционной эффективности, увеличивается диапазон толщин, при которых дифракционная эффективность принимает значения, близкие к максимальным. При малых углах φ_0 до 10°

значительных изменений значений дифракционной эффективности не происходит как при наличии гиротропии, так и при ее отсутствии.



а) – гиротропия не учитывается, б) – гиротропия учитывается при записи,
в) – гиротропия учитывается при считывании, г) – гиротропия учитывается
при записи и считывании

**Рисунок 2 – Зависимость дифракционной эффективности
от угла Брэгга φ_0 и толщины слоя d ($\psi_0 = 90^\circ$)**

Полученные результаты могут быть использованы для определения оптимальных толщин регистрирующих слоев и углов Брэгга при наличии гиротропии при записи и считывании голограмм.

Литература

1. Шепелевич, В.В. О голографических решетках в гиротропных средах / В.В. Шепелевич // Письма в ЖТФ. – 1981. – Т. 7, № 23. – С. 1380–1384.
2. Шепелевич, В.В. Дифракция света на объемных голографических решетках, считываемых при включенной гиротропии / В.В. Шепелевич // ЖТФ. – 1985. – Т. 55, № 6. – С. 1201–1203.
3. Шепелевич, В.В. Голографические решетки в плоскопараллельном гиротропном слое / В.В. Шепелевич // Ковариантные методы в теоретической физике. Оптика и акустика. – Минск : ИФ АН БССР, 1991. – С. 78–82.
4. Шепелевич, В.В. К процессу формирования голографических решеток в плоскопараллельном гиротропном слое / В.В. Шепелевич // Опт. и спектр. – 1983. – Т. 54, № 5. – С. 1064–1071.
5. Борн, М. Основы оптики / М. Борн, Э. Вольф ; пер. с англ. – 2-е изд. – М. : Наука, 1973. – 720 с.
6. Батомункуев, Ю.Ц. Расчет схемы записи цилиндрическими волнами объемного внеосевого голографического оптического элемента / Ю.Ц. Батомункуев, Н.А. Мещеряков // Автометрия. – 1999. – № 4. – С. 33–38.
7. Kogelnik, H. Coupled wave theory for thick hologram gratings / H. Kogelnik // Bell Syst. Techn. Journ. – 1969. – V. 48, № 9. – P. 2909–2947.